

## บทที่ 4

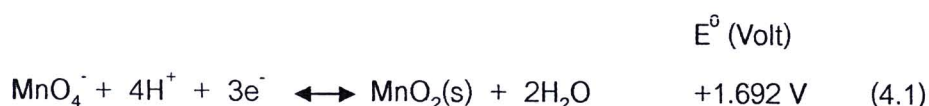
### ผลการทดลองและการวิเคราะห์

งานวิจัยนี้เป็นการทดลองเพื่อศึกษาการทำจัดสังกะสีในน้ำเสียจากโรงงานผลิตเล้าไนเยรอน ที่มีความเข้มข้นของสังกะสี 155 มิลลิกรัมต่อลิตร (2.4 มิลลิโมลต่อลิตร) ค่าความนำไฟฟ้า 33.2 มิลลิชีเมนต์ต่อเซนติเมตร และค่าพีเอช 1.7 โดยใช้การทดลองด้วยไฟฟ้าเคมีแบบควบคุมกระแสอย่างต่อเนื่องเพื่อให้ได้ประสิทธิภาพเชิงกระแสเพิ่มสูงขึ้นหรือคงที่ความนำไฟฟ้าคงที่สุดตลอดช่วงเวลาในการกักเก็บ

ผลการศึกษาหาสภาวะที่เหมาะสมในการทำจัดสังกะสีและประสิทธิภาพเชิงกระแสของการทำจัดสังกะสีในน้ำเสียสังเคราะห์และน้ำเสียจริงจากโรงงานผลิตเล้าไนเยรอน แบ่งออกเป็น 4 ส่วน คือ การออกแบบและเลือกรูปแบบถังปฏิกิริยา ตัวแปรที่มีผลต่ออัตราเร็วและประสิทธิภาพในการทำจัดสังกะสีจากน้ำเสีย การทำจัดสังกะสีในน้ำเสียจริงด้วยวิธีปรับค่าความหนาแน่นกระแสอย่างต่อเนื่อง และการวิเคราะห์ค่าใช้จ่ายในการบำบัด

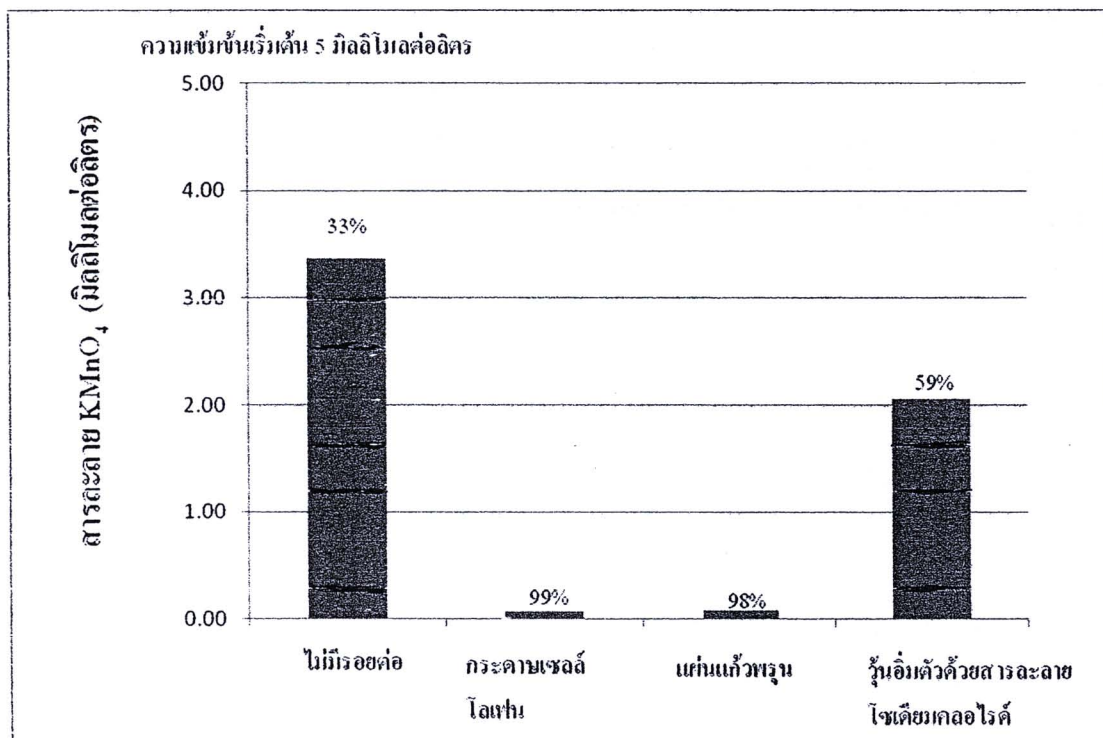
#### 4.1 การออกแบบและเลือกรูปแบบถังปฏิกิริยา

ถังปฏิกิริยาแบบไม่มีรอยต่อของสารละลาย และแบบมีรอยต่อของสารละลาย ด้วยกระดาษเซลล์โลฟาน แผ่นแก้วพูลูนเบอร์ 4 (sintered glass No.4) และวุ้นอิมตัวด้วยสารละลายใช้เดี่ยมคลอไรด์ถูกทดสอบและเปรียบเทียบผล โดยอาศัยการติดตามการทำนิ่งไปของปฏิกิริยาเรติกซันของ  $KMnO_4$  (สมการที่ 4.1) ที่ความเข้มข้นเริ่มต้น 5 มิลลิโมลต่อลิตร หลังทำการผ่านศักย์ไฟฟ้าคงที่ 10 โวลต์ เป็นเวลา 20 นาทีแล้ว ทำการตรวจวัดความเข้มข้นของ  $KMnO_4$  ที่เหลืออยู่ในสารละลายด้วยเครื่องวัดการดูดกลืนแสง (UV-Vis spectrophotometer) ค่าความเข้มข้นของ  $KMnO_4$  ที่วัดได้ถูกนำมาแสดงไว้ในรูปที่ 4.1



เลือกใช้  $KMnO_4$  มาทดสอบในขั้นตอนการออกแบบและเลือกรูปแบบถังปฏิกิริยา เนื่องจากเป็นสารเคมีที่สังเกตการณ์เปลี่ยนแปลงได้ง่ายเนื่องจากมีสีม่วงเข้ม และวัดค่าความ

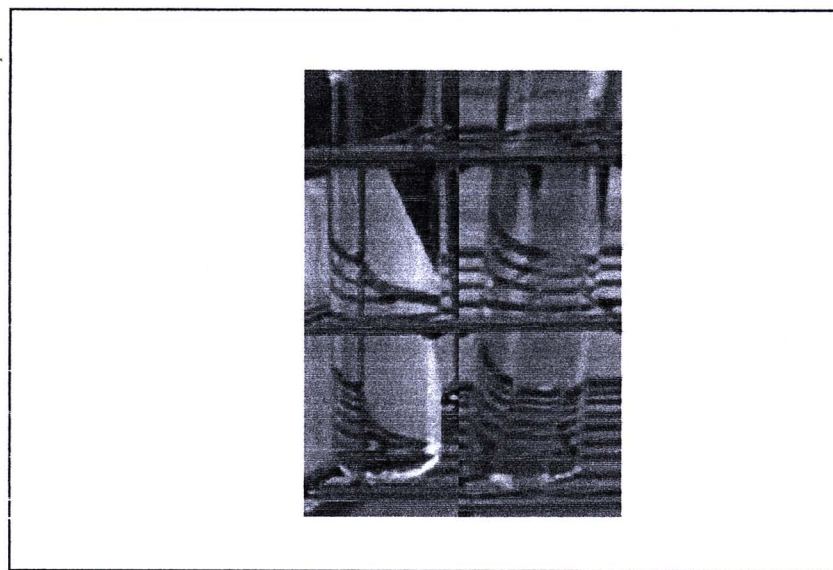
เข้มข้นที่เปลี่ยนไปได้ง่ายโดยใช้เครื่องวัดการดูดกลืนแสง (UV-Vis spectrophotometer) ที่ความยาวคลื่น 700 นาโนเมตร และใช้ขั้วทองแดงเป็นขั้วไฟฟ้าและแอดแคโทดเนื่องจากขั้วทองแดงหาได้ง่าย ราคาถูก และสามารถตัดขนาดได้ตามต้องการเนื่องจากมีความบางและอ่อนมวนเป็นรูปได้



รูปที่ 4.1 ค่าความเข้มข้นของ  $\text{KMnO}_4$  ในถังปฏิกิริยาแบบไม่มีรอยต่อของสารละลาย และแบบมีรอยต่อของสารละลายด้วยกระดาษเซลล์โลหะ แผ่นแก้วพรมุน เบอร์ 4 (sintered glass No.4) และก้อนอิมตัวด้วยสารละลายโซเดียมคลอไรด์ หลังผ่านศักย์ไฟฟ้าคงที่ 10 โวลต์เป็นเวลา 20 นาที

จากผลการทดลองว่าปฏิกิริยาเริดกัชั่นของ  $\text{KMnO}_4$  เกิดขึ้นได้เพียง 33% ในถังปฏิกิริยาแบบไม่มีรอยต่อของสารละลาย ซึ่งมีค่าน้อยเมื่อเทียบกับการดำเนินไปของปฏิกิริยาเดียวกันนี้ ในถังปฏิกิริยาที่มีรอยต่อของสารละลายทั้ง 3 แบบ โดยในถังปฏิกิริยาแบบมีรอยต่อของสารละลายที่ทำจากกระดาษเซลล์โลหะ แผ่นแก้วพรมุนเบอร์ 4 (sintered glass No.4) และก้อนอิมตัวด้วยสารละลายโซเดียมคลอไรด์ พบรการดำเนินไปของปฏิกิริยาเริดกัชั่นของ  $\text{KMnO}_4$  99%, 98% และ 59% ตามลำดับ ภายใต้สภาวะการควบคุมศักย์ไฟฟ้าที่ค่าเดียวกัน ระยะเวลาเท่ากัน

เมื่อพิจารณาเปรียบเทียบถังปฏิกิริยาแบบมีรอยต่อของสารละลายน้ำที่ทำด้วยกระดาษเซลล์โล芬 และแผ่นแก้วพูนเบอร์ 4 (sintered glass No.4) ซึ่งมีค่าการด้ามเนินไปของปฏิกิริยาที่สูงถึง 99% และ 98% ตามลำดับ พบว่าถังปฏิกิริยาที่มีกระดาษเซลล์โล芬เป็นองค์ประกอบ พบรากการเปื่อยยุ่ยของกระดาษเซลล์โล芬 และเมื่อทิ้งสารละลายน้ำในถังปฏิกิริยาไว้ในถังปฏิกิริยานานเกิน 1 ชั่วโมง พบรากการปนเปื้อนของสารสีเขียวลงมาในสารละลายน้ำดังแสดงไว้ในรูปที่ 4.2



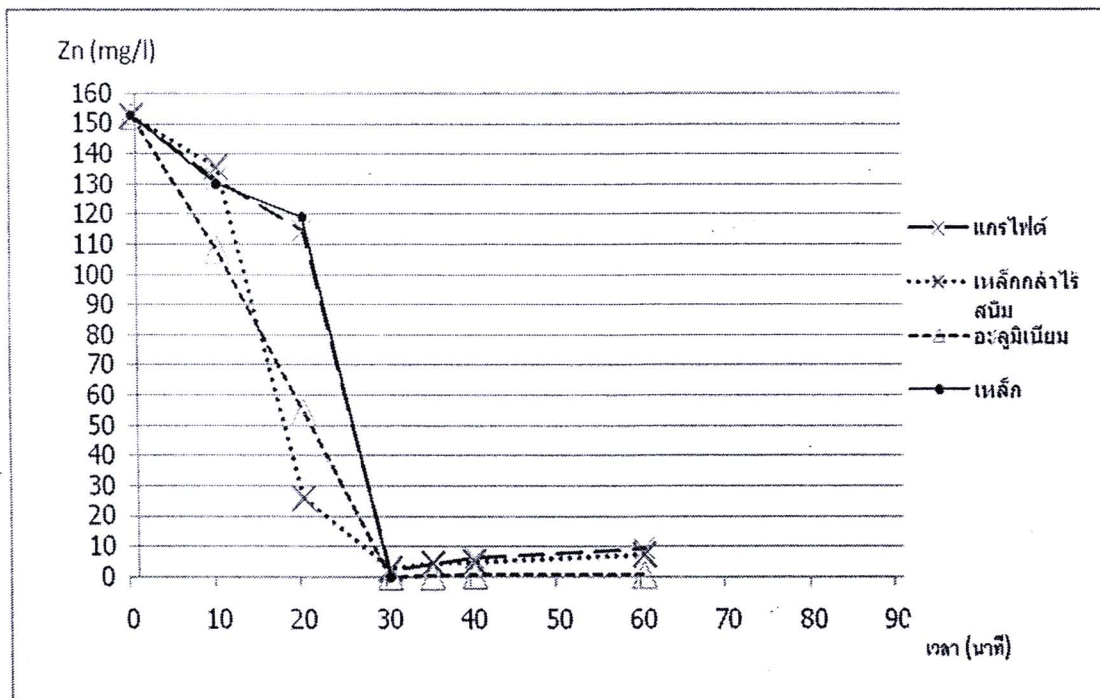
รูปที่ 4.2 สีของสารละลายน้ำในถังปฏิกิริยาแบบมีรอยต่อด้วยกระดาษเซลล์โล芬 (หลอดขวา) หลังการทำจัดสี  $KMnO_4$  เมื่อผ่านศักย์ไฟฟ้าคงที่ 10 โวลต์เป็นเวลา 20 นาทีเทียบกับน้ำกลั่น (หลอดซ้าย)

จากรูปที่ 4.2 สีเขียวเหลืองที่ออกมากในสารละลาย คาดว่าเป็นสารที่ละลาย ออกมากจากกระดาษเซลล์โล芬 เนื่องจากกระดาษเซลล์โล芬เป็นวัสดุที่ทำจากเซลลูโลส (cellulose) ในไม้หรือพืชเส้นใยอื่น ๆ เคลือบด้วยสารป้องกันความชื้นอันได้แก่ โนโตรเซลลูโลส โพลีไวนิลคลอไรด์ ไวนิลโคลพอลีเมอร์ และโพลีเอทิลีน ซึ่งสารเหล่านี้อาจทำปฏิกิริยากับสารละลายน้ำ  $KMnO_4$  หรือศักย์ไฟฟ้าที่ผ่านเข้าไป จึงทำให้ปล่อยสีเขียวเหลืองออกมาก (รูปที่ 4.2) ดังนั้นถังปฏิกิริยาที่มีกระดาษเซลล์โล芬เป็นองค์ประกอบจึงไม่เหมาะสมที่จะนำมาประยุกต์ใช้กับน้ำเสียที่มีสภาวะความเป็นกรดสูง ถึงแม้อัตราการดำเนินไปของปฏิกิริยาสามารถเกิดขึ้นได้อย่างรวดเร็ว ด้วยเหตุผลดังกล่าว ทำให้ถังปฏิกิริยาแบบมีรอยต่อสารละลายน้ำที่ทำด้วยแผ่นแก้วพูนจึงมีความเหมาะสมที่จะนำไปใช้กับการทดสอบการทำจัดสังกะสือออกจากน้ำเสียอุตสาหกรรมในลำดับต่อไป

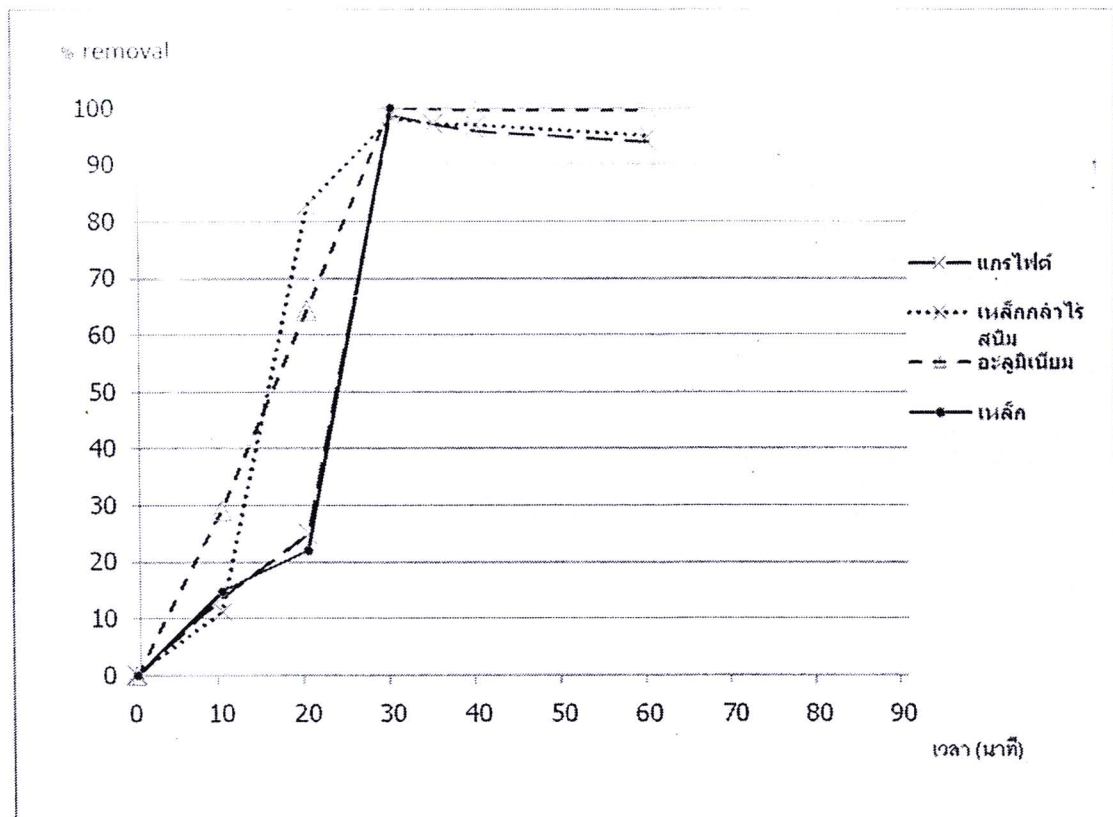
## 4.2 ตัวแปรที่มีผลต่ออัตราเร็วและประสิทธิภาพในการกำจัดสังกะสีจากน้ำเสีย

### 4.2.1 ชนิดของข้าวไฟฟ้า

บรรจุน้ำเสียสังเคราะห์ลงในถังปฏิกิริยาที่มีรอยต่อสารละลายน้ำที่ทำมาจากแผ่นแก้วพูน ให้กระแสไฟฟ้าคงที่ 1,500 mA แก่ระบบ ผ่านข้าวไฟฟ้าแคottoดชนิดต่างๆ ได้แก่ เหล็ก อะลูมิเนียม แกรไฟต์ และเหล็กกล้าไร้สนิม พบร่วมความเข้มข้นของสังกะสีในน้ำเสียสังเคราะห์ลดลงอย่างรวดเร็วในช่วงเวลา 30 นาที (รูปที่ 4.3) ซึ่งคิดเป็น 100%, 100%, 99% และ 98% ของการกำจัดสังกะสี ตามลำดับ (รูปที่ 4.4)

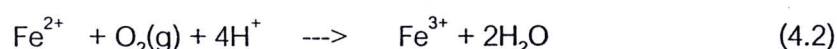
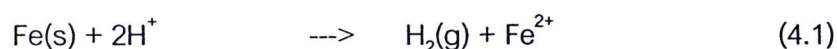


รูปที่ 4.3 ค่าความเข้มข้นของสังกะสีเทียบกับเวลาเมื่อใช้ข้าวแคottoดเป็นแกรไฟต์ เหล็กกล้าไร้สนิม อะลูมิเนียม และเหล็ก เมื่อผ่านกระแสไฟฟ้าคงที่ 1,500 mA



รูปที่ 4.4 ค่าร้อยละการกำจัดสังกะสีเทียบกับเวลาเมื่อใช้ขัวเคลตอทด เป็นแกรไฟต์ เหล็กกล้าไร้สนิม อะลูมิเนียม และเหล็ก เมื่อผ่านกระแสไฟฟ้าคงที่ที่ 1,500 mA

จากผลการทดลองพบว่า ขัวเหล็กและอะลูมิเนียมให้เปอร์เซ็นต์ของการกำจัดสังกะสีสูงที่สุด แต่จากการสังเกตลักษณะของสารละลาย พบรดตากอนสีส้มแดงของเหล็กออกอนเกิดขึ้นตั้งแต่ 10 นาทีแรกที่เริ่มทำการทดลอง เป็นผลมาจากการละลายของขัวเหล็กตามปฏิกิริยาที่ 4.1 ถึง 4.3



ขัวเหล็กเมื่ออยู่ในสารละลายกรดจะละลายออกมานิรูป  $\text{Fe}^{2+}$  จากนั้น  $\text{Fe}^{2+}$  ซึ่งไม่ค่อยอยู่ตัว สามารถทำปฏิกิริยากับออกซิเจนในอากาศในสภาพกรด แล้วถูกออกซิไดส์เปลี่ยนเป็น  $\text{Fe}^{3+}$  (ทำให้สารละลายมีสีเหลืองส้มจางๆ) เมื่อมี  $\text{Fe}^{3+}$  เกิดขึ้นในสารละลาย ร่วมกับมี  $\text{OH}^-$  เกิดขึ้นในสารละลายด้วย  $\text{Fe}^{3+}$  จะทำปฏิกิริยาได้  $\text{Fe(OH)}_3$  (ทำให้สารละลายมีตะกอนสีน้ำตาลแดง)

ดังนั้นข้าวเหล็กจึงไม่เหมาะสมที่จะนำมาใช้ในการกำจัดสังกะสีหรือโลหะหนักออกจากน้ำเสียที่มีสภาวะความเป็นกรดสูง เมื่อพิจารณาข้าวอะลูมิเนียม ซึ่งให้ค่าเบอร์เท็นต์การกำจัดสังกะสีสูงสุด เมื่อนึ่งข้าวเหล็กเช่นกัน พบว่าข้าวอะลูมิเนียมมีลักษณะบางลงหลังทำการทดลอง ซึ่งแสดงถึงการละลายหรือการกัดกร่อนของข้าวตามปฏิกิริยาที่ 4.4 ถึง 4.6

|                  |      | $E^\circ$       |              |
|------------------|------|-----------------|--------------|
| $Zn^{2+} + 2e^-$ | ---> | $Zn_{(s)}$      | -0.76 (4.4)  |
| $Al^{3+} + 3e^-$ | ---> | $Al$            | -1.660 (4.5) |
| $2Al + 6HCl$     | ---> | $2AlCl_3 + H_2$ | - (4.6)      |

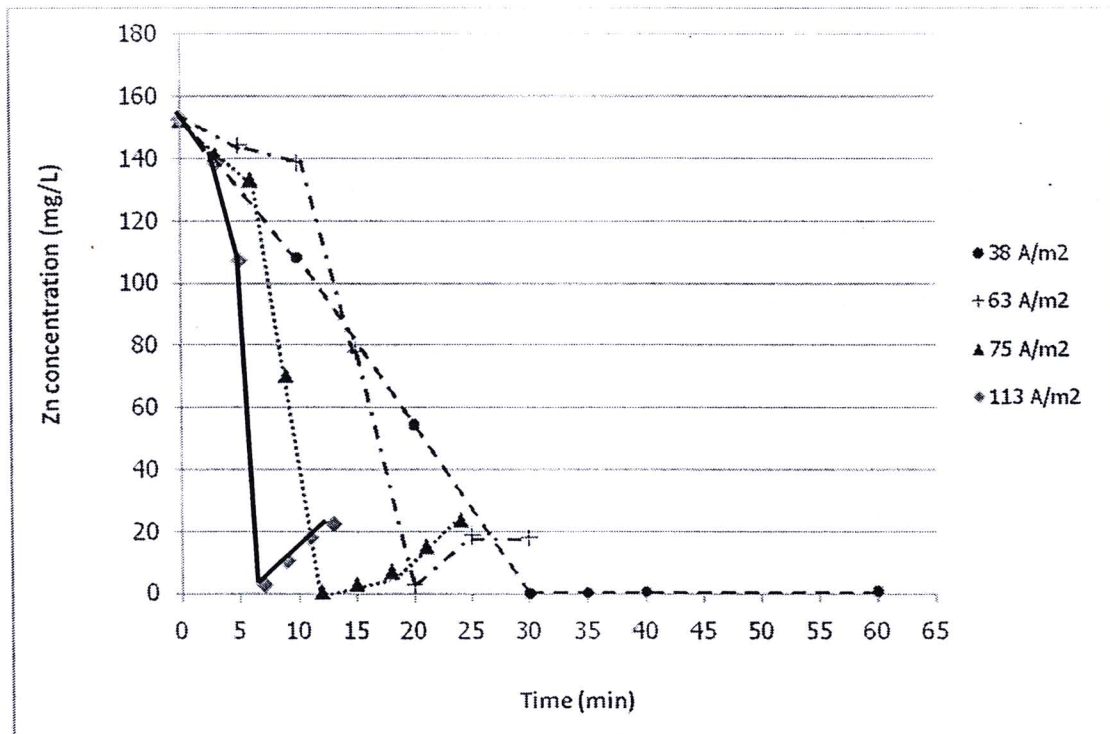
เมื่อพิจารณาค่าศักย์ไฟฟ้ามาตรฐานของปฏิกิริยาที่ 4.4 และ 4.5 พบว่า สังกะสีสามารถเกิดปฏิกิริยาได้ตั้งแต่บันแร่น้ำอะลูมิเนียมได้เองโดยที่ไม่ต้องให้กระแสงไฟฟ้าเข้าไป (ปฏิกิริยาแบบกัลวานิก) ทำให้ข้าวอะลูมิเนียมเกิดการสึกกร่อนลงไปในสารละลาย (ปฏิกิริยาที่ 4.5 แบบย้อนกลับ) และเมื่อสังเกตสารละลายระหว่างการทดลองยังพบของแข็งแขวนลอยสีเทาดำ เกิดขึ้นกระจายทั่วสารละลาย คาดว่าคือ  $AlCl_3$  จากปฏิกิริยาที่ 4.6 ลักษณะดังกล่าวทำให้ข้าวอะลูมิเนียมไม่เหมาะสมในการใช้เป็นข้าวแคโทเดสำหรับการกำจัดสังกะสีจากน้ำเสีย

ข้าวเกรต์และเหล็กกล้าไร้สนิมให้เบอร์เท็นต์การกำจัดสังกะสีสูงกว่า 98% และไม่พบการละลายหรือการกัดกร่อนของข้าวลงสู่สารละลาย ดังนั้นข้าวทั้งสองจึงสามารถนำมาใช้เป็นข้าวแคโทเดเพื่อการกำจัดสังกะสีในน้ำเสียที่มีสภาวะความเป็นกรดสูงนี้ได้ ซึ่งข้าวเหล็กกล้าไร้สนิมมีราคาอยู่มากกว่าข้าวเกรต์ และเหล็กกล้าไร้สนิมในทางโลหกรรมถือว่าเป็นโลหะผสมเหล็ก ที่มีโครงสร้างอย่างน้อยที่สุด 10.5% เป็นฟิล์มบางๆเคลือบผิวไว้ ทำหน้าที่ป้องกันการเกิดความเสียหายให้กับตัวเนื้อสเตนเลสได้เป็นอย่างดี ป้องกันการเกิดการกัดกร่อนจากสารละลายที่เป็นกรดและไม่เข้าดูหรือสึกกร่อนง่ายอย่างโลหะทั่วไป ดังนั้นในการทดลองต่อจากนี้จึงเลือกใช้ข้าวเหล็กกล้าไร้สนิมเป็นข้าวแคโทเด

#### 4.2.2 ค่าความหนาแน่นของกระแสงไฟฟ้า

ผลของความหนาแน่นกระแสงไฟฟ้าที่มีต่อปริมาณความเข้มข้นของสังกะสีที่เหลืออยู่ในสารละลาย ณ เวลาต่างๆ เมื่อทำการควบคุมความหนาแน่นกระแสงไฟฟ้าที่ 38, 63, 75

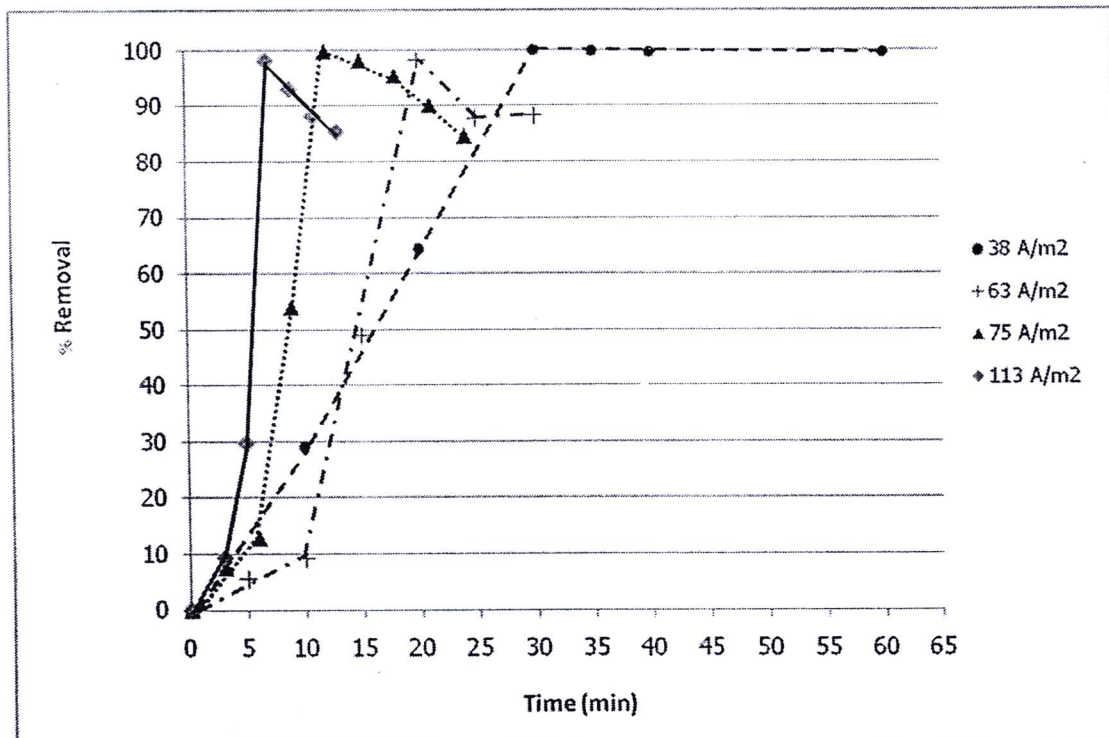
และ 113 แอมเปอร์ต่อตารางเมตร (การคำนวณตามภาคผนวก ข.3) โดยใช้ชั้วเหล็กกล้าไร้สนิมเป็นชั้วแคโทด ได้แสดงไว้ในรูปที่ 4.4



รูปที่ 4.5 ความเข้มข้นของสังกะสีในน้ำเสียสังเคราะห์เทียบกับเวลา เมื่อควบคุมค่าความหนาแน่นกระแสไฟฟ้าที่ 38, 63, 75 และ 113 แอมเปอร์ต่อตารางเมตร โดยใช้ชั้วเหล็กกล้าไร้สนิมเป็นชั้วแคโทด

รูปที่ 4.5 แสดงให้เห็นว่า ความเข้มข้นของสังกะสีในสารละลายลดลงอย่างต่อเนื่องเมื่อให้เวลาในการผ่านกระแสไฟฟ้านานขึ้น โดยอัตราการลดลงของปริมาณสังกะสีจะเพิ่มขึ้นเมื่อค่าความหนาแน่นกระแสไฟฟ้าที่ใหม่ค่าสูงขึ้น นอกจากนี้ยังพบว่าปริมาณสังกะสีในสารละลายลดลงจนมีความเข้มข้นน้อยกว่าเกณฑ์มาตรฐานน้ำทิ้งที่ 5 มิลลิกรัมต่อลิตร เมื่อควบคุมค่าความหนาแน่นกระแสไฟฟ้าที่ 38 แอมเปอร์ต่อตารางเมตร เป็นเวลา 30 ถึง 60 นาที ควบคุมค่าความหนาแน่นกระแสไฟฟ้าที่ 63 แอมเปอร์ต่อตารางเมตร เป็นเวลา 20 ถึง 24 นาที ควบคุมค่าความหนาแน่นกระแสไฟฟ้าที่ 75 แอมเปอร์ต่อตารางเมตร เป็นเวลา 12 ถึง 15 นาที ควบคุมค่าความหนาแน่นกระแสไฟฟ้าที่ 113 แอมเปอร์ต่อตารางเมตร เป็นเวลา 7 ถึง 8 นาที เมื่อผ่านช่วงเวลาที่ควบคุมค่าความหนาแน่นกระแสไฟฟ้าทั้ง 4 ค่า จะมีการละลายกลับของสังกะสีเกิดขึ้นซึ่งสาเหตุถูกกล่าวไว้ในหัวข้อ 4.2.3

รูปที่ 4.6 ได้แสดงความสัมพันธ์ระหว่างเปอร์เซ็นต์สังกะสีที่ถูกกำจัดออกจากน้ำเสียสังเคราะห์ ณ เวลาต่างๆ เทียบกับค่ากระแสไฟฟ้าที่ควบคุม โดยที่ความเข้มข้นเริ่มต้นของสังกะสีในน้ำเสียสังเคราะห์มีค่า 155 มิลลิกรัมต่อลิตร จากผลการทดลองพบว่า ค่าความหนาแน่นไฟฟ้าที่ 38 แอม培ร์ต่อตารางเมตร ณ เวลา 30 นาที ลดปริมาณสังกะสีในสารละลายได้ 100% คิดเป็นอัตราเร็วในการกำจัดสังกะสี 5 มิลลิกรัมต่อลิตรต่อนาที (การคำนวณในภาคผนวก ข.4) ที่ 63 แอม培ร์ต่อตารางเมตร ณ เวลา 20 นาที ลดปริมาณสังกะสีในสารละลายได้ 98% คิดเป็นอัตราเร็วในการกำจัดสังกะสี 8 มิลลิกรัมต่อลิตรต่อนาที ที่ 75 แอม培ร์ต่อตารางเมตร ณ เวลา 12 นาที ลดปริมาณสังกะสีในสารละลายได้ 100% คิดเป็นอัตราเร็วในการกำจัดสังกะสี 13 มิลลิกรัมต่อลิตรต่อนาที และที่ 113 แอมเบร็ตต่อตารางเมตร ณ เวลา 7 นาที ลดปริมาณสังกะสีในสารละลายได้ 98% คิดเป็นอัตราเร็วในการกำจัดสังกะสี 22 มิลลิกรัมต่อลิตรต่อนาที



รูปที่ 4.6 ร้อยละการกำจัดสังกะสีในน้ำเสียสังเคราะห์เทียบกับเวลาเมื่อควบคุมค่าความหนาแน่นกระแสไฟฟ้าที่ 38, 63, 75 และ 113 แอมเบร็ตต่อตารางเมตร โดยใช้ชี้วัดหลักไร์สันมเป็นชี้วัดเคมโทด

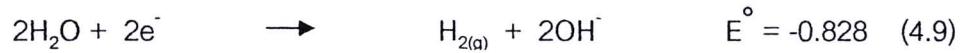
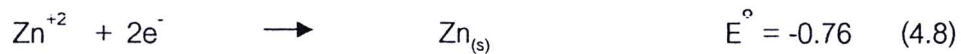
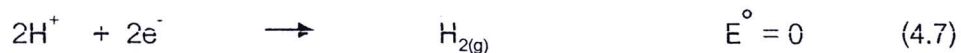
จากผลการทดลองข้างต้นพบว่า เมื่อควบคุมค่าความหนาแน่นกระแสไฟฟ้าให้สูงขึ้น สามารถกำจัดสังกะสีให้ลดลงได้อย่างรวดเร็วโดยใช้ระยะเวลาในการกำจัดสังกะสีออกจากการทดลอง

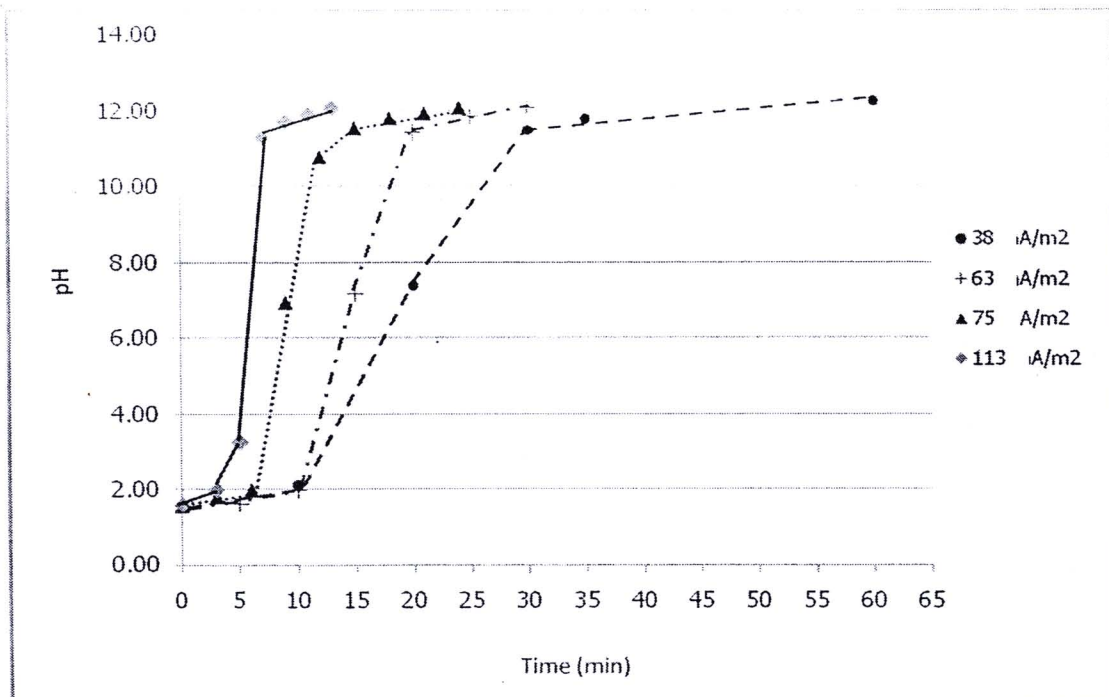
น้ำเสียสั่นลงกว่าการควบคุมความหนาแน่นกระแสไฟฟ้าที่ต่ำกว่า แต่เมื่อพิจารณาระยะเวลาที่ความเข้มข้นของสังกะสีอยู่ในช่วงผ่านเกณฑ์มาตรฐานน้ำทิ้งที่ 5 มิลลิกรัมต่อลิตร กลับพบว่าที่ความหนาแน่นกระแสไฟฟ้าต่ำๆ สามารถลดสังกะสีให้ผ่านเกณฑ์มาตรฐานได้ในระยะเวลาที่ยาวนานและคงที่กว่าการควบคุมความหนาแน่นกระแสไฟฟ้าที่สูงๆ ดังแสดงในรูปที่ 4.6 ความหนาแน่นกระแส 38 แอมเปอร์ต่อตารางเมตรซึ่งเป็นความหนาแน่นกระแสต่ำสุด สามารถลดสังกะสีให้ผ่านเกณฑ์มาตรฐานได้ยาวนานและคงที่ตั้งแต่นานที่ 30 ถึงนาทีที่ 60

#### 4.2.3 พีโอด

น้ำเสียสังเคราะห์มีค่าพีโอดเริ่มต้นที่ 1.7 ซึ่งได้จากการเติมกรดไฮโดรคลอริกเข้มข้น 0.01 มอลต่อลิตร เมื่อทำการควบคุมค่าความหนาแน่นกระแสไฟฟ้าที่ 38, 63, 75 และ 113 แอมเปอร์ต่อตารางเมตร ใช้ชี้วัดหลักกลั่นไร้สนิมเป็นชี้วัดค่าพีโอด ทำการตรวจวัดค่าพีโอดจากน้ำเสียสังเคราะห์ตลอดช่วงการทดลอง โดยการเปลี่ยนแปลงของพีโอดเกิดขึ้นดังแสดงในรูปที่ 4.6 และสามารถอธิบายสาเหตุของการเปลี่ยนแปลงค่าพีโอดในแต่ละช่วงเวลาได้ โดยอาศัยสมการที่ 4.7 – 4.9

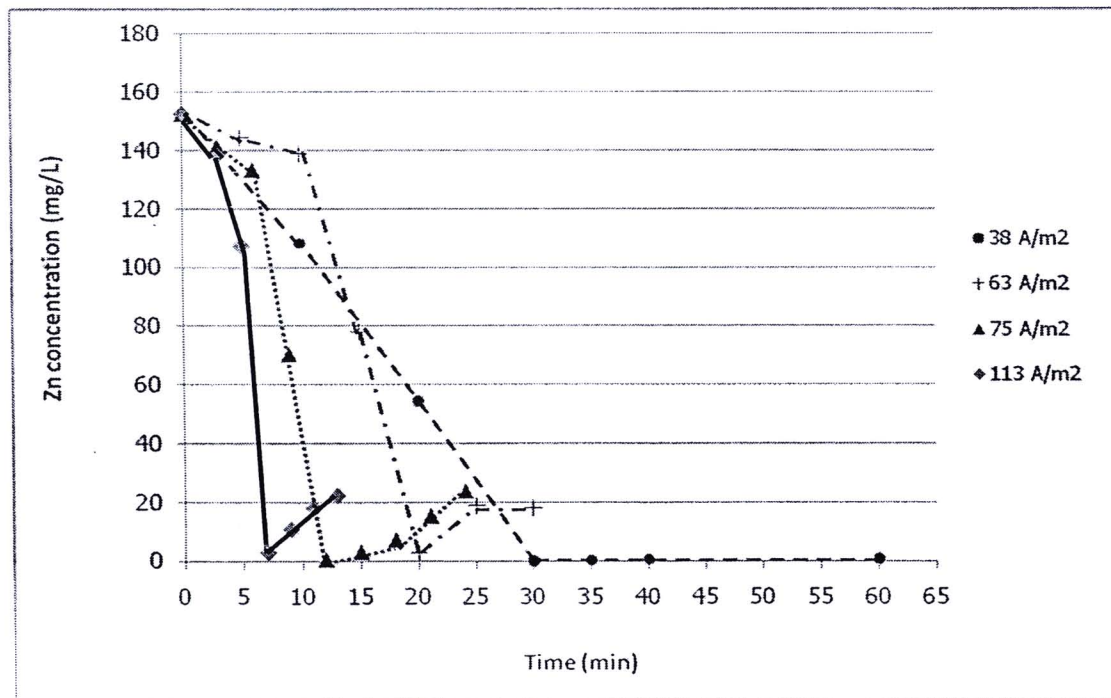
#### ปฏิกิริยาบนชั้นไฟฟ้าแคโทด





รูปที่ 4.7 ค่าพีเอชเทียบกับเวลา เมื่อควบคุมค่าความหนาแน่นกระแสไฟฟ้า

ที่ 38, 63, 75 และ 113 แอมเปอร์ต่อตารางเมตร



รูปที่ 4.5 ความเข้มข้นของสังกะสีในน้ำเสียสังเคราะห์เทียบกับเวลา เมื่อควบคุมค่าความ

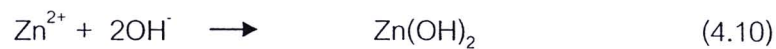
หนาแน่นกระแสไฟฟ้าที่ 38, 63, 75 และ 113 แอมเปอร์ต่อตารางเมตร

โดยใช้ขั้วเหล็กกล้าไร้สนิมเป็นขั้วแคโทด

จากการทดลองค่าพีเอชมีการปรับเพิ่มขึ้นด้วยอัตราเร็วที่ต่างกันในแต่ละช่วงเวลา (รูปที่ 4.7) และมีความสัมพันธ์กับอัตราการลดลงของปริมาณสังกะสีในสารละลายน้ำ (รูปที่ 4.5) ดังนี้

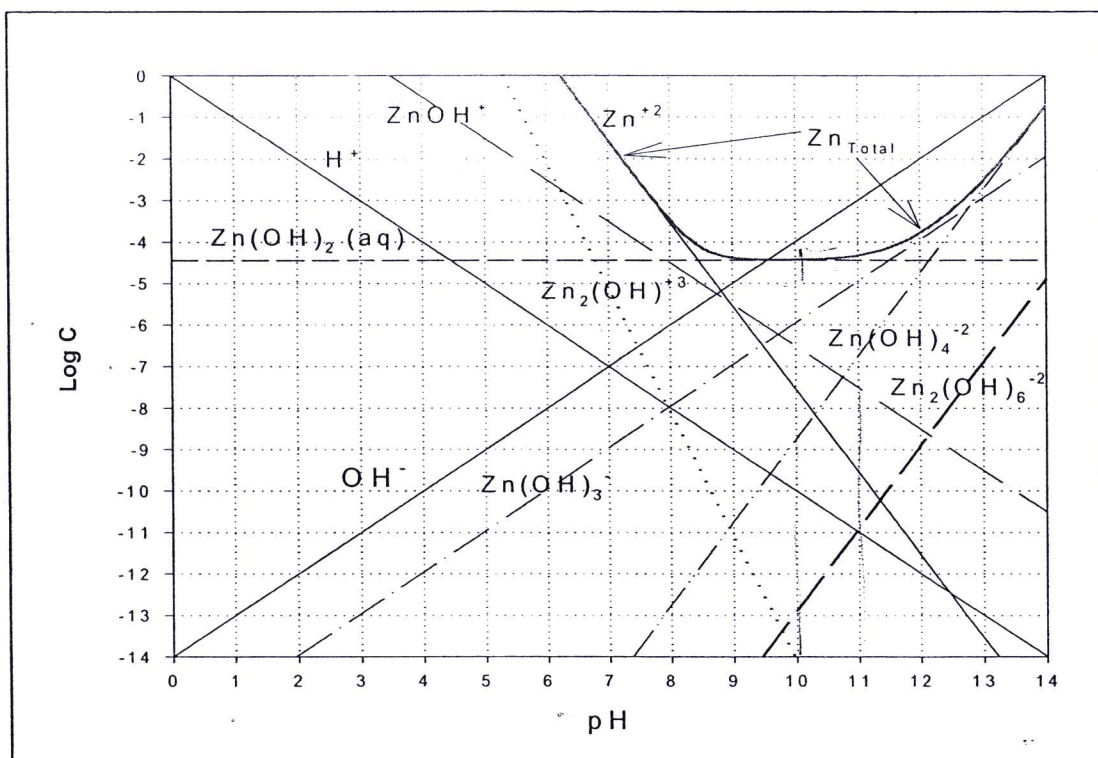
ช่วงต้น : 0 ถึง 3 หรือ 5 หรือ 10 นาที (ขึ้นกับค่าความหนาแน่นกระแสงแต่ละค่า) ในช่วงต้นของการทดลอง เมื่อควบคุมค่าความหนาแน่นกระแสงไฟฟ้าที่ 38 แอมเปอร์ต่อตารางเมตร เป็นเวลา 0 ถึง 3 นาที ควบคุมค่าความหนาแน่นกระแสงไฟฟ้าที่ 63 แอมเปอร์ต่อตารางเมตร เป็นเวลา 0 ถึง 5 นาที ควบคุมค่าความหนาแน่นกระแสงไฟฟ้าที่ 75 แอมเปอร์ต่อตารางเมตร เป็นเวลา 0 ถึง 10 นาที ควบคุมค่าความหนาแน่นกระแสงไฟฟ้าที่ 113 แอมเปอร์ต่อตารางเมตร เป็นเวลา 0 ถึง 10 นาที พนว่าปฏิกิริยาที่เกิดขึ้นที่ข้าวแคโตก หลักๆ คือปฏิกิริยาที่ 4.7 และ 4.8 ค่าพีเอชมีการปรับเพิ่มขึ้นด้วยอัตราเร็วซ้ำๆ ซึ่งสัมพันธ์กับอัตราการลดลงของปริมาณสังกะสีที่มีความเข้มข้นลดลงน้อย (รูปที่ 4.5)

ช่วงกลาง : กระแสงที่เหลือนานจะเป็นผลมาจากการปฏิกิริยา 4.7, 4.8 และ 4.9 เป็นหลัก โดยสังเกตจากอัตราการเพิ่มขึ้นของค่าพีเอชที่สูง และเมื่อปฏิกิริยา 4.9 ดำเนินต่อ จะได้ผลิตภัณฑ์คือ  $\text{OH}^-$  และ  $\text{OH}_2^+$  ที่เกิดจะส่งผลให้เกิด  $\text{Zn}(\text{OH})_2$  ตามสมการที่ 4.10



ดังนั้นจะพบอัตราการลดลงของสังกะสีในสารละลายน้ำเพิ่มขึ้น ซึ่งเป็นผลมาจากการปฏิกิริยา 4.7 และ 4.9

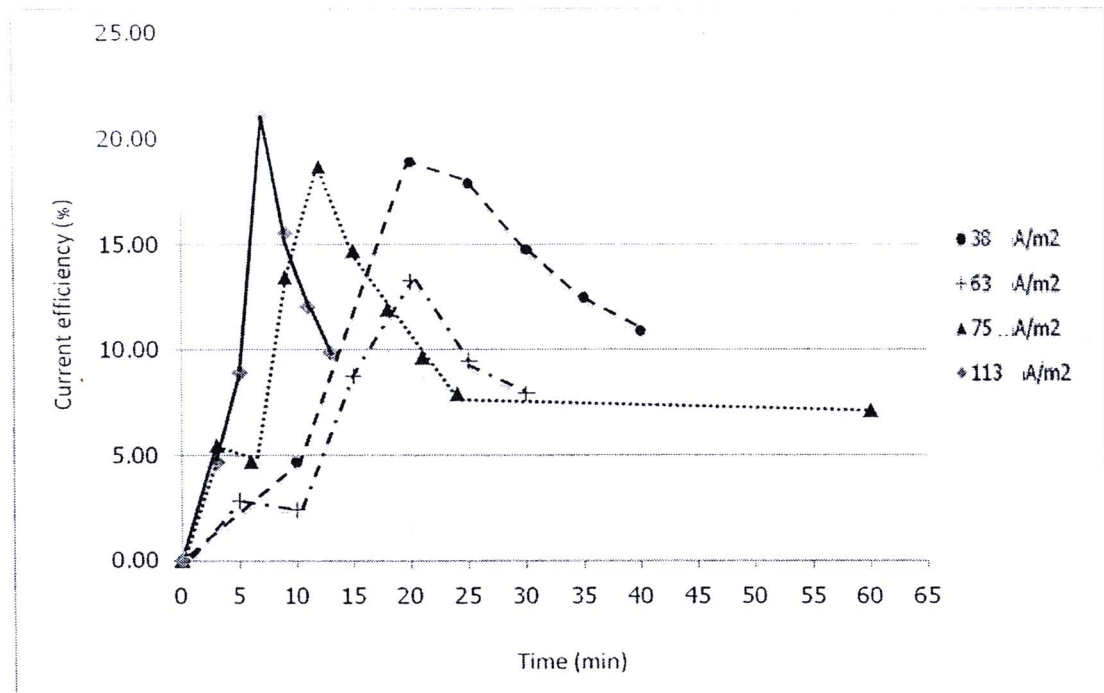
ช่วงปลาย : เมื่อพีเอชเพิ่มสูงขึ้นมากในช่วงกลางของการทดลอง แสดงว่าความเข้มข้นของ  $\text{H}^+$  ลดลงอย่างมากหรือหมดไป ทำให้ปฏิกิริยาที่ดำเนินอยู่ในช่วงเวลานี้ หลักๆ คือปฏิกิริยาที่ 4.5 ดังนั้นจึงพบอัตราการเพิ่มขึ้นของพีเอชลดลง (ตามปฏิกิริยาที่ 4.3 เท่านั้น) และในช่วงเวลานี้ค่าพีเอชมีค่าอยู่ในช่วงพีเอช 11-12 ซึ่งเป็นช่วงที่ตะกอน  $\text{Zn}(\text{OH})_2$  (ปฏิกิริยาที่ 4.10) สามารถละลายกลับลงสู่สารละลายน้ำ (Benjamin, 2002) ดังแสดงในรูป 4.8 จึงพบการเพิ่มขึ้นของสังกะสีในช่วงเวลานี้ (รูปที่ 4.5)



รูปที่ 4.8 แผนภาพการละลายของ  $\text{Zn}(\text{OH})_2$  (Benjamin, 2002)

#### 4.3 ประสิทธิภาพเชิงกระแส

ค่าประสิทธิภาพเชิงกระแส เป็นค่าที่แสดงถึงความสัมพันธ์ระหว่างอัตราเร็วในการกำจัดสังกัดสีหรือโลหะหนักออกจากสารละลายเทียบกับปริมาณพลังงานหรือกระแสไฟฟ้าที่ให้กับระบบ ณ ช่วงเวลาหนึ่งๆ



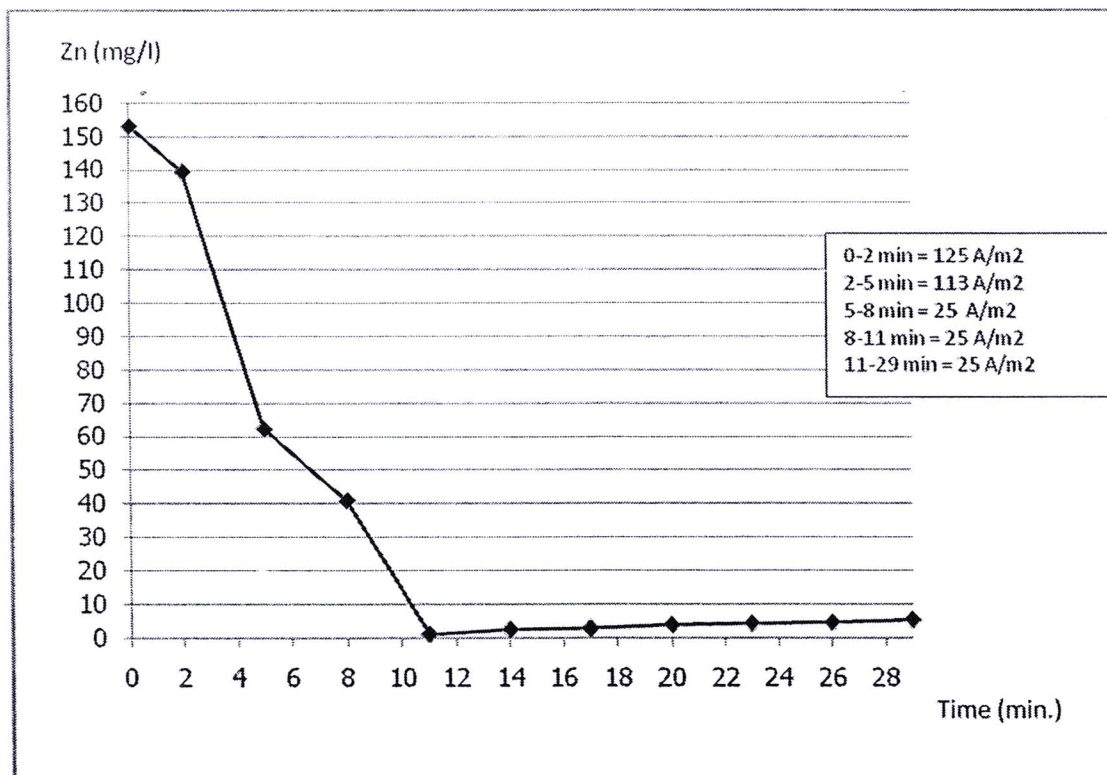
รูปที่ 4.9 ค่าประสิทธิภาพเชิงกระแสเทียบกับเวลา เมื่อควบคุมค่าความหนาแน่นกระแสไฟฟ้า

ที่ 38, 63, 75 และ 113 แอมเปอร์ต่อตารางเมตร บนขั้วเหล็กกล้าไวร์สันมิ

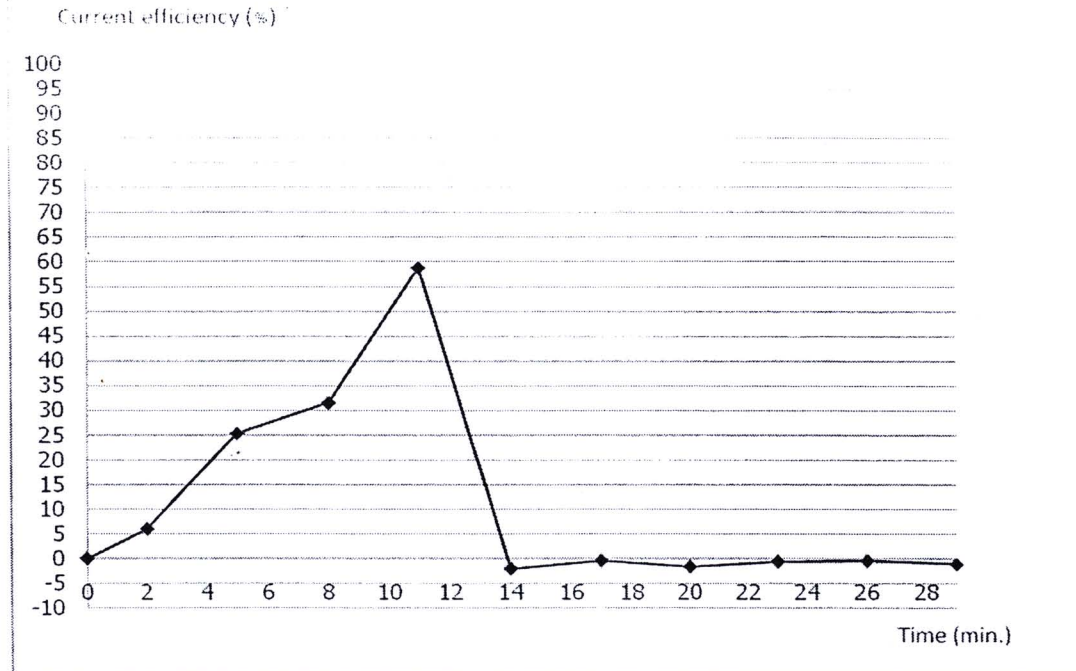
รูปที่ 4.9 แสดงค่าประสิทธิภาพเชิงกระแสที่คำนวนได้จากการควบคุมค่าความหนาแน่นกระแสไฟฟ้าที่ 38, 63, 75 และ 113 แอมเปอร์ต่อตารางเมตร แก่น้ำเสียสังเคราะห์ที่มีความเข้มข้นเริ่มต้นของสังกะสี 155 มิลลิกรัมต่อลิตร (2.4 มอลต่อลิตร) พบว่า ค่าประสิทธิภาพเชิงกระแสสูงสุดที่คำนวนได้ในแต่ละชุดการทดลอง มีความสัมพันธ์โดยตรงกับปริมาณความหนาแน่นกระแสไฟฟ้าที่ควบคุม กล่าวคือ เมื่อควบคุมความหนาแน่นกระแสไฟฟ้าให้เก่าระบบในปริมาณที่สูง ค่าประสิทธิภาพเชิงกระแสที่สูงที่สุดก็จะมีค่ามากด้วย เช่น เมื่อควบคุมค่าความหนาแน่นกระแสไฟฟ้าที่ 38, 63, 75 และ 113 แอมเปอร์ต่อตารางเมตร ค่าประสิทธิภาพเชิงกระแสสูงสุดที่คำนวนได้มีค่า 19%, 13%, 19% และ 21% ตามลำดับ ซึ่งถือว่าเป็นค่าประสิทธิภาพเชิงกระแสที่สูงเมื่อเทียบกับงานวิจัยการกำจัดสังกะสีจากน้ำเสียโดยใช้กระบวนการตัดตอนทางเคมีและกระบวนการทางไฟฟ้าเคมี ที่มีประสิทธิภาพเชิงกระแสสูงสุด 7% โดยใช้ระยะเวลาจำกัดยาวนานถึง 6 ชั่วโมง (สหราช เขาร์บุรี, 2552) และจากการทดลองหลังผ่านจุดสูงสุดของค่าประสิทธิภาพเชิงกระแสนี้แล้ว พบว่าประสิทธิภาพเชิงกระแสลดลงอย่างรวดเร็ว ซึ่งการลดลงนี้สัมพันธ์โดยตรงกับปริมาณกระแสไฟฟ้าที่ควบคุม ที่ความหนาแน่นกระแสไฟฟ้าสูงๆ ประสิทธิภาพเชิงกระแสจะตกลงเร็วกว่าการควบคุมกระแสไฟฟ้าต่ำๆ นอกจากนี้ผลการทดลองในรูปที่ 4.9 ยังแสดงให้เห็นว่าเวลาที่พบรากурсเกิดประสิทธิภาพเชิงกระแสสูงสุดนี้จะลดลงเมื่อปริมาณความหนาแน่นกระแสที่

ให้กับระบบมีค่ามากขึ้น เช่น พบค่าประสิทธิภาพเชิงกระแสสูงสุด ณ เวลา 20, 20, 12 และ 7 นาที เมื่อใช้ค่าความหนาแน่นกระแสไฟฟ้าที่ 38, 63, 75 และ 113 แอมเปอร์ต่อตารางเมตรตามลำดับ แต่ในงานวิจัยนี้ต้องการเพิ่มประสิทธิภาพในการกำจัดสังกะสีให้ได้ค่าประสิทธิภาพเชิงกระแสสูงกว่า 50% ดังนั้นจากข้อมูลที่กล่าวมาได้สามารถใช้เป็นแนวทางในการกำหนดความหนาแน่นกระแสไฟฟ้าและเวลาที่ควบคุมให้เกิดความเหมาะสม เพื่อลึกเลี้ยงการทดลองของประสิทธิภาพ เชิงกระแสหลังผ่านจุดสูงสุด และมีผลทำให้สามารถรักษาระดับของประสิทธิภาพเชิงกระแสของ การกำจัดสังกะสีให้สูงตามสมควรได้ตลอดระยะเวลาของการทดลอง ส่งผลให้เกิดการเพิ่ม ประสิทธิภาพในการกำจัดสังกะสีในที่สุด

รูปที่ 4.10 และ 4.11 แสดงอัตราการลดลงของสังกะสีและค่าประสิทธิภาพเชิง กระแสเทียบกับเวลา เมื่อปรับเปลี่ยนค่ากระแสไฟฟ้าที่ควบคุมตามเวลาดังแสดงไว้ในตารางที่ 4.1



รูปที่ 4.10 การลดลงของสังกะสีเทียบกับเวลา เมื่อใช้การปรับเปลี่ยนค่าความหนาแน่น กระแสไฟฟ้าในแต่ละช่วงเวลาดังแสดงในตารางที่ 4.1



รูปที่ 4.11 ค่าประสิทธิภาพเชิงกระแสเทียบกับเวลาเมื่อใช้การปรับเปลี่ยนค่าความหนาแน่นกระแสไฟฟ้าตามตารางที่ 4.1

ตารางที่ 4.1 ค่าความหนาแน่นกระแสไฟฟ้าที่ควบคุมในช่วงระยะเวลาต่างๆ ของการทดลอง พร้อมความเข้มข้นของสังกะสีและประสิทธิภาพเชิงกระแสที่ได้

| ระยะเวลา<br>(นาที) | ความหนาแน่นกระแสไฟฟ้า<br>(แอมเปอร์ต่อตารางเมตร) | ความเข้มข้นสังกะสี<br>(มิลลิกรัมต่อลิตร) | ประสิทธิภาพเชิงกระแส<br>(%) |
|--------------------|---|--|-----------------------------|
| 0-2                | 125   | 140                                      | 6                           |
| 2-5                | 113   | 62                                       | 25                          |
| 5-8                | 25  | 41                                       | 32                          |
| 8-11               | 25  | 1  | 59                          |
| 11-14              | 25  | 2  | -2                          |
| 14-17              | 25  | 3  | 0                           |
| 17-20              | 25  | 3  | -2                          |
| 20-23              | 25  | 4  | -1                          |
| 23-26              | 25  | 4  | 0                           |
| 26-29              | 25  | 5  | -1                          |

จากผลการทดลองที่แสดงไว้ในรูปที่ 4.8 พบว่า ปริมาณสังกะสีลดลงอย่างรวดเร็วภายในเวลา 11 นาที ส่งผลให้ค่านวนค่าประสิทธิภาพเชิงกระแสได้สูงสุดที่ 59% ซึ่งมีค่ามากกว่าค่าสูงสุดที่ได้เมื่อไม่มีการปรับเปลี่ยนค่าความหนาแน่นกระแสไฟฟ้าที่ควบคุม (รูปที่ 4.9) ซึ่งแนวคิดนี้เป็นผลมาจากการใช้กราฟเสนหรือควบคุมความหนาแน่นกระแสไฟฟ้าที่สูงๆ ทำให้เวลาในการกำจัดสังกะสีเร็วขึ้น แต่หากใช้ความหนาแน่นกระแสสูงคงที่ตลอดการทดลองจะทำให้กำจัดสังกะสีผ่านเกณฑ์มาตรฐานน้ำทิ้ง (5 มิลลิกรัมต่อลิตร) ได้ไม่ถึง 1 นาที จะทำให้สังกะสีละลายกลับสู่สารละลายเข่นเดิม (รูปที่ 4.8) ดังนั้นจึงต้องใช้ความหนาแน่นกระแสสูงในช่วงแรกและค่อยๆ ปรับความหนาแน่นกระแสให้ต่ำลง ทำให้สามารถป้องกันการละลายกลับของโลหะสังกะสีลงสู่สารละลาย เนื่องจากสังกะสีละลายได้ดีในกรดแก่และด่างแก่ (มั่นสิน ตั้มทูลเวศน์, 2545) เป็นผลให้สามารถควบคุมปริมาณสังกะสีที่ละลายในน้ำเสียให้อยู่ต่ำกว่าเกณฑ์มาตรฐานที่กำหนดไว้ที่ 5 มิลลิกรัมต่อลิตร เป็นเวลา yuanan หรือตลอดการทดลองได้ โดยในการทดลองนี้สามารถควบคุมให้สังกะสีมีค่าต่ำกว่าเกณฑ์มาตรฐานที่กำหนดไว้ได้ ทำให้สามารถเก็บกักไว้ในถังปฏิริยาต่อได้โดยควบคุมความหนาแน่นกระแสไฟฟ้าที่ 25 แอม培ร์ต่อกิโลกรัมเมตร ซึ่งทำให้สังกะสีไม่ละลายกลับมาในถังปฏิริยาตั้งแต่นาทีที่ 11 จนถึงนาทีที่ 26 รวมเป็นเวลา 15 นาที ซึ่งคาดว่าเพียงพอสำหรับการนำไปปรับใช้ในการกำจัดสังกะสีออกจากน้ำเสียในระดับอุตสาหกรรม (เหตุผลจะอธิบายในหัวข้อต่อไป)

#### 4.4 การกำจัดสังกะสีในน้ำเสียจริงด้วยวิธีการปรับความหนาแน่นกระแสไฟฟ้าอย่างต่อเนื่อง

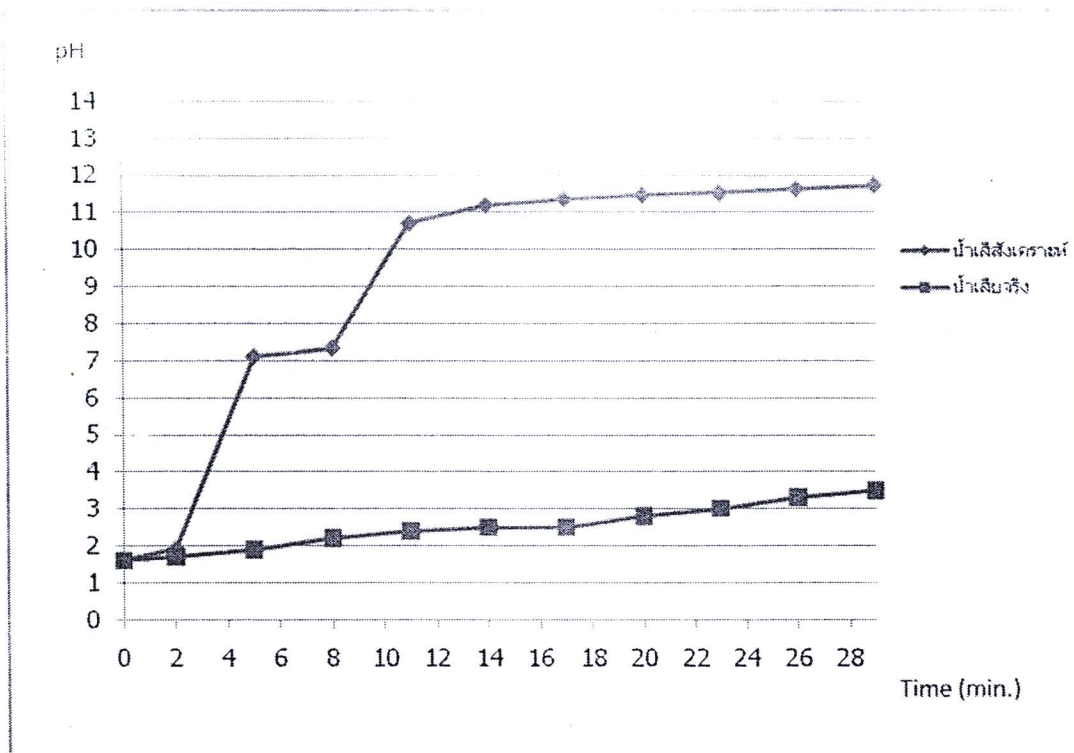
น้ำเสียจริงเก็บมาจากน้ำเสียของกระบวนการผลิตเส้นใย ที่จัดได้ว่าเป็นกระบวนการผลิตหลักของโรงงานอุตสาหกรรมผลิตเส้นใย โดยน้ำเสียที่เก็บมามีลักษณะสีเหลืองใส ประกอบด้วยโลหะหนักที่สำคัญ คือ สังกะสี ปริมาณ 155 มิลลิกรัมต่อลิตร พีเอช 1.7 ค่าความนำไฟฟ้า 33.2 มิลลิซีเมนต์ต่อลิตร และมีค่าพารามิเตอร์อื่นๆ อีก ดังแสดงในตารางที่ 4.2



ตารางที่ 4.2 สมบัติของน้ำเสียจริงที่ใช้ในการทดลอง

| พารามิเตอร์ที่ตรวจวัด | หน่วย   | ปริมาณความเข้มข้น | วิธีการตรวจวัดค่า |
|-----------------------|---------|-------------------|-------------------|
| พีเอช                 |         | 1.7               | pH meter          |
| ไนเตรต                | mg/l    | 27                | ICP               |
| ซัลเฟต                | mg/l    | 11,800            | ICP               |
| ของแข็งแขวนลอย        | mg/l    | 100               | -                 |
| ซีโอดี                | mg/l    | 3,200             | -                 |
| ของแข็งละลายในน้ำ     | mg/l    | 23,600            | -                 |
| สังกะสี               | mg/l Zn | 155               | AAS               |

เมื่อได้สภาวะที่เหมาะสมในการกำจัดสังกะสีจากน้ำเสียสังเคราะห์ จึงนำรูปแบบการปรับเปลี่ยนค่าความหนาแน่นกระแทไฟฟ้ามาใช้ทดลองกับน้ำเสียจริง ผลปรากฏว่าค่าพีเอชมีการเปลี่ยนแปลงน้อยมาก ในเวลาการกำจัด 29 นาทีตามการทดลองในน้ำเสียสังเคราะห์ ดังแสดงในรูปที่ 4.12



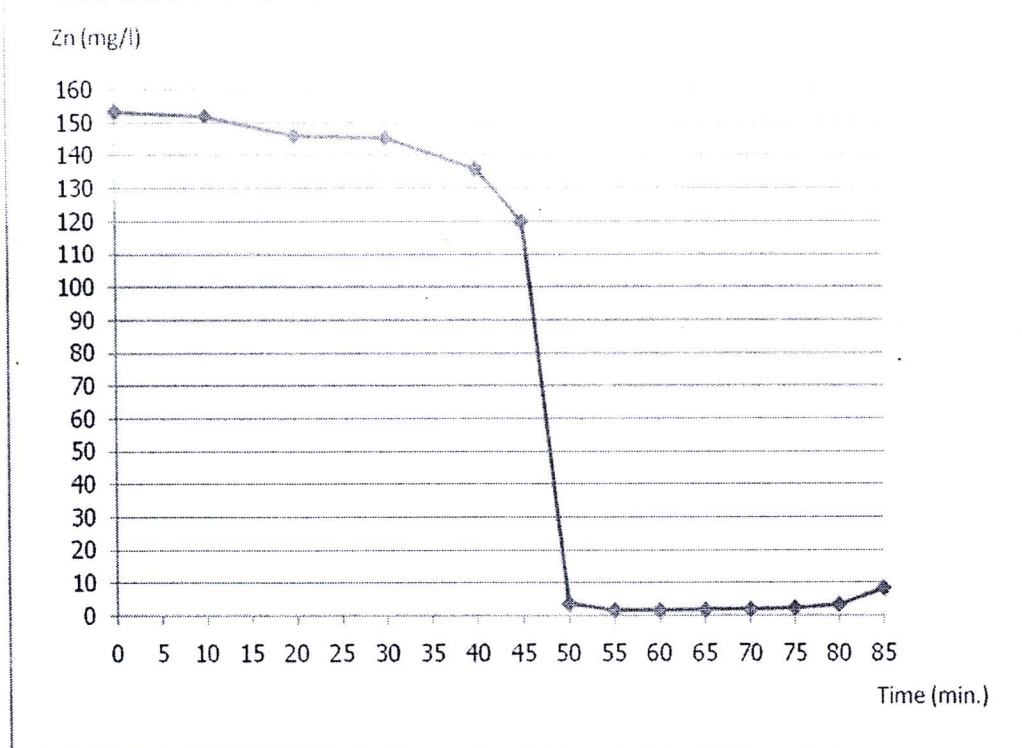
รูปที่ 4.12 การเปลี่ยนแปลงค่า pH เอชเทียบกับเวลา เมื่อใช้การปรับเปลี่ยนค่าความ  
หนาแน่นกระสไฟฟ้าตามตารางที่ 4.1 กับน้ำเสียจริงและน้ำเสียสังเคราะห์

จากการทดลองในหัวข้อ 4.2.3 พบว่าการทำจัดสังกะสีเกิดขึ้นได้มากเมื่อ pH  
ของสารละลายมีค่าสูง และจากรูปที่ 4.12 ในระยะเวลาการเปลี่ยนแปลงค่าความหนาแน่นไฟฟ้า  
ตามตารางที่ 4.2 เป็นเวลา 29 นาที พบร่วมน้ำเสียสังเคราะห์มีค่า pH เพิ่มขึ้นจาก 1.7 เป็น 11.73  
ซึ่งเกิดการทำจัดสังกะสีขึ้นเป็นลำดับดังที่ได้อธิบายไว้แล้วในหัวข้อ 4.2.3 ในขณะที่น้ำเสียจริงมีค่า  
pH เพิ่มจาก 1.7 เป็น 3.5 ภายใต้สภาวะการทำทดลองเดียวกัน ดังนั้นการทำจัดสังกะสีในน้ำเสีย  
จริงจึงเกิดขึ้นในปริมาณเพียงเล็กน้อยเท่านั้น เป็นผลให้ไม่สามารถนำรูปแบบการปรับเปลี่ยนค่า  
ความหนาแน่นกระสไฟฟ้าที่ใช้ได้ผลดีกับน้ำเสียสังเคราะห์มาใช้กับน้ำเสียจริงได้โดยตรง  
ตารางที่ 4.3 แสดงการปรับเปลี่ยนค่าความหนาแน่นกระสไฟฟ้าสำหรับน้ำเสีย  
จริง โดยอาศัยหลักการเดียวกันที่ใช้กับน้ำเสียสังเคราะห์

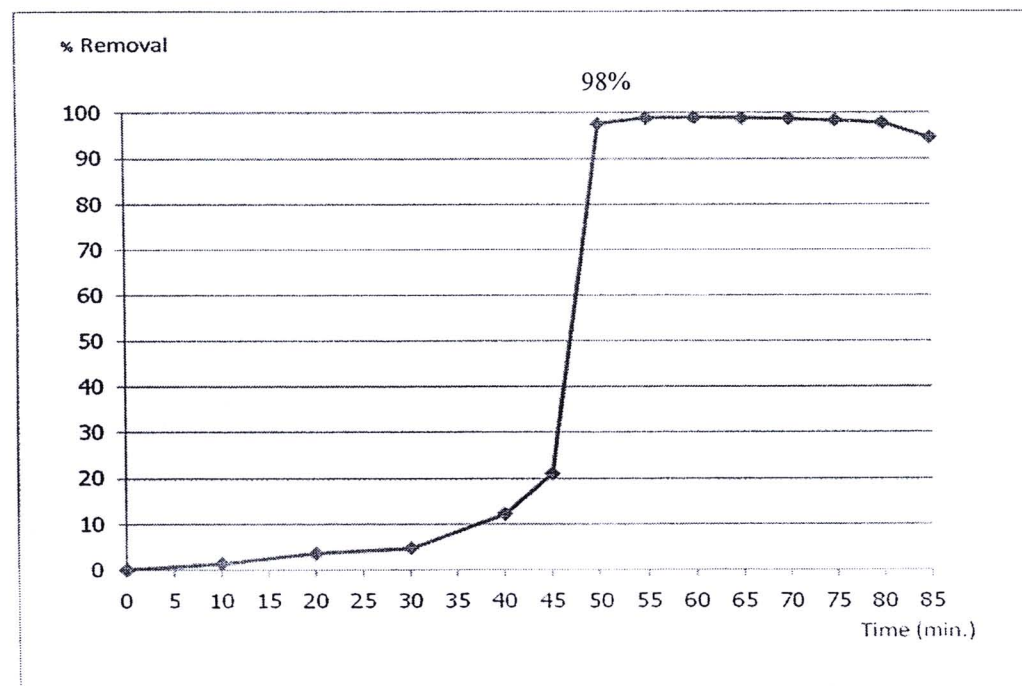
ตารางที่ 4.3 ค่าความหนาแน่นกระแสงไฟฟ้าที่ควบคุมในช่วงระยะเวลาต่างๆ ของการทดลอง  
พร้อมความเข้มข้นของสังกะสีและประสิทธิภาพเชิงกระแสงที่ได้จากน้ำเสียจริง

| ระยะเวลา<br>(นาที) | ความหนาแน่นกระแสงไฟฟ้า<br>(แอมเปอร์ต่อตารางเมตร) | ความเข้มข้นสังกะสี<br>(มิลลิกรัมต่อลิตร) | ประสิทธิภาพเชิงกระแสง<br>(%) |
|--------------------|--|--|------------------------------|
| 0-30               | 125  | 145                                      | 0                            |
| 30-40              | 75   | 134                                      | 2                            |
| 40-45              | 50   | 120                                      | 6                            |
| 45-50              | 25   | 4  | 100                          |
| 50-55              | 17   | 2  | 3                            |
| 55-60              | 17   | 1  | 0                            |
| 60-65              | 17   | 2  | 0                            |
| 65-70              | 17   | 2  | 0                            |
| 70-75              | 17   | 2  | 0                            |
| 75-80              | 17   | 3  | -1                           |
| 80-85              | 17   | 8  | -6                           |

จากผลการทดลอง พบร่วมกันว่า สามารถกำจัดสังกะสีในน้ำเสียจริงให้ผ่านเกณฑ์มาตรฐานได้ในระยะเวลา 50 นาที (ตารางที่ 4.3) โดยสังกะสีในสารละลายลดลงเหลือ 4 มิลลิกรัมต่อลิตร หรือคิดเป็นร้อยละการกำจัด 98% ดังแสดงในรูปที่ 4.12 และรูปที่ 4.13



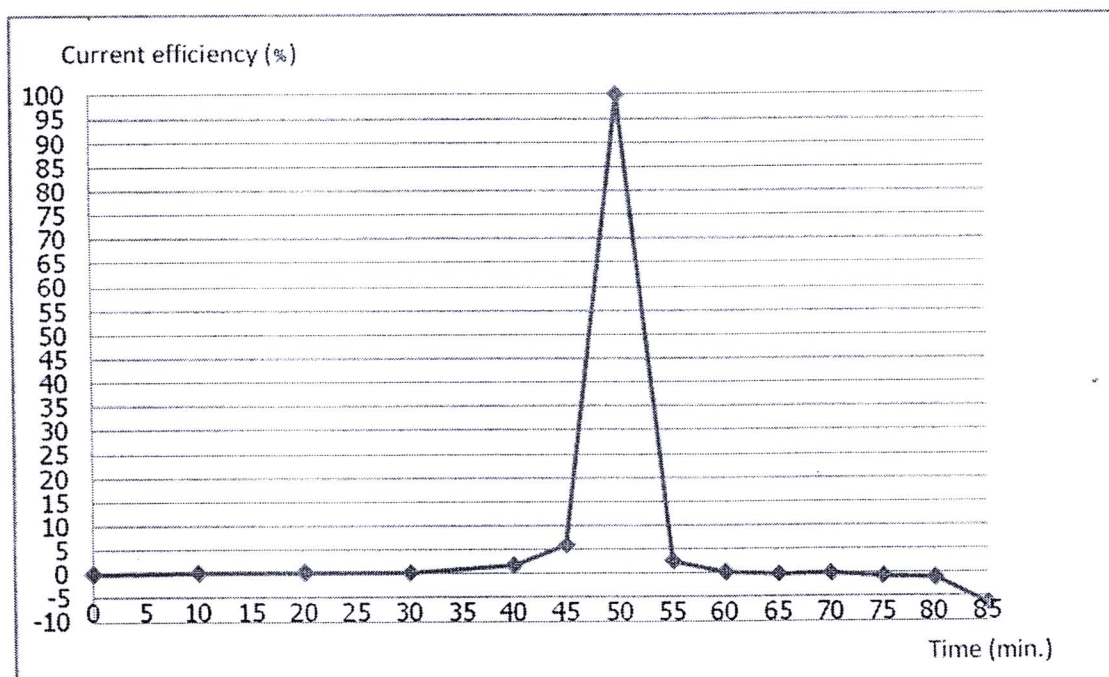
รูปที่ 4.13 การลดลงของสังกะสีเทียบกับเวลาเมื่อใช้การปรับเปลี่ยนค่าความหนาแน่นกราฟไฟฟ้าในแต่ละช่วงเวลาดังแสดงในตารางที่ 4.3



รูปที่ 4.14 ค่าร้อยละการกำจัดสังกะสีเทียบกับเวลาเมื่อใช้การปรับเปลี่ยนค่าความหนาแน่นกราฟไฟฟ้าในช่วงระยะเวลาต่างๆ ดังแสดงในตารางที่ 4.3

รูปที่ 4.13 แสดงการลดลงของสังกะสีเทียบกับเวลา เมื่อใช้การควบคุมค่าความหนาแน่นกระแสงไฟฟ้าที่ 125 แอมเปอร์ต่อตารางเมตร ที่เวลา 0 นาที ถึง 30 นาที ควบคุมค่าความหนาแน่นกระแสงไฟฟ้าที่ 75 แอมเปอร์ต่อตารางเมตร ที่เวลา 30 นาที ถึง 40 นาที ควบคุมค่าความหนาแน่นกระแสงไฟฟ้าที่ 50 แอมเปอร์ต่อตารางเมตร ที่เวลา 40 นาที ถึง 45 นาที ควบคุมค่าความหนาแน่นกระแสงไฟฟ้าที่ 25 แอมเปอร์ต่อตารางเมตร ที่เวลา 45 นาที ถึง 50 นาที และควบคุมค่าความหนาแน่นกระแสงไฟฟ้าที่ 17 แอมเปอร์ต่อตารางเมตร (เป็นค่าต่ำสุดที่เครื่องมือสามารถทำงานได้) ที่เวลา 50 นาที ถึง 85 นาที ซึ่งแนวคิดนี้เป็นผลมาจากการทดลองในส่วนน้ำเสียสังเคราะห์ซึ่งการใช้กระแสงหรือควบคุมความหนาแน่นกระแสงไฟฟ้าที่สูงๆ ทำให้ใช้เวลาในการกำจัดสังกะสีเร็วขึ้น แต่หากใช้ความหนาแน่นกระแสงสูงคงที่ตลอดการทดลองจะทำให้กำจัดสังกะสีผ่านเกณฑ์มาตรฐานน้ำทิ้ง (5 มิลลิกรัมต่อลิตร) ได้ไม่ถึง 1 นาที จะทำให้สังกะสีละลายกลับสู่สารละลาย เช่นเดิม (รูปที่ 4.8) ดังนั้นจึงต้องใช้ความหนาแน่นกระแสงสูงในช่วงแรกและค่อยๆ ปรับความหนาแน่นกระแสงให้ต่ำลงโดยอาศัยแนวโน้มการปรับความหนาแน่นกระแสงตามการทดลองในน้ำเสียสังเคราะห์แบบต่างๆ ตามภาคผนวก ก. (ตารางที่ ก.9 ถึง ก.12) แนวคิดดังกล่าวทำให้สามารถกำจัดสังกะสีให้ผ่านมาตรฐานน้ำทิ้งลดลงภายในเวลา 50 นาที สงผลให้คำนวนค่าประสิทธิภาพเชิงกระแสงได้สูงสุดที่ 100% ค่าประสิทธิภาพเชิงกระแสงที่ได้มีค่าสูงมาก เนื่องจากสังกะสีลดลงอย่างรวดเร็วจากความเข้มข้นสังกะสี 120 มิลลิกรัมต่อลิตร ณ นาทีที่ 45 ลดลงเหลือ 4 มิลลิกรัมต่อลิตร ณ นาทีที่ 50 และ ณ เวลา 50 นาที สามารถกำจัดสังกะสีได้ถึง 98% เป็นผลทำให้สามารถควบคุมปริมาณสังกะสีที่ละลายในน้ำเสียให้อยู่ต่ำกว่าเกณฑ์มาตรฐานที่กำหนดไว้ที่ 5 มิลลิกรัมต่อลิตร เป็นเวลาระยะนานหรือตลอดการทดลองได้ โดยในการทดลองนี้สามารถควบคุมให้สังกะสีมีค่าต่ำกว่าเกณฑ์มาตรฐานที่กำหนดไว้ได้ ตั้งแต่นาทีที่ 50 จนถึงนาทีที่ 80 รวมเป็นเวลา 30 นาทีที่สามารถป้องกันการละลายกลับของสังกะสีได้ และการกำจัดสังกะสีได้ตั้งแต่นาทีที่ 50 คาดว่า สามารถช่วยประหยัดเวลาในการกำจัดสังกะสีออกจากน้ำเสียจริงในโรงงานเส้นใยเรยอนได้ ซึ่งค่าการออกแบบระยะเวลาเก็บกักน้ำเสียในบ่อตัดตะกอนเพื่อกำจัดโลหะหนักด้วยสารเคมี เช่น ปูนขาว โซดาไฟ เก็บกักในช่วงระยะเวลา 1-2 ชั่วโมง เพื่อให้ตัดตะกอนสามารถรวมตัวกันและตัดตะกอนลงกันบ่อตัดตะกอน (เกรียงศักดิ์ อุดมสินโภจน์, 2539) แต่งานวิจัยนี้สามารถใช้ไฟฟ้าเคมีด้วยวิธี ปรับเปลี่ยนกระแสงไฟฟ้าตัดตะกอนสังกะสีออกจากน้ำเสียเส้นใยเรยอนได้ในระยะเวลาที่สั้นลง คือสามารถกำจัดได้ตั้งแต่นาทีที่ 50 และมีร้อยละการกำจัดสูงถึง 98% เมื่อเทียบกับงานวิจัยการกำจัดสังกะสีด้วยการตัดตะกอนทางไฟฟ้าเคมีด้วยวิธีคงที่กระแสงไฟฟ้า ซึ่งสามารถกำจัดสังกะสีได้เพียง 24% และใช้เวลากำจัดถึง 6 ชั่วโมง (สมรรษ์ เชาว์รุปดี, 2552)

จากผลข้างต้น พบร่วมค่าประสิทธิภาพเชิงกระแสในการกำจัดสังกะสีในน้ำเสียจริง ดังแสดงในรูปที่ 4.15 มีค่ามากกว่าในน้ำเสียสังเคราะห์ (รูปที่ 4.11) แต่ใช้ระยะเวลาในการกำจัดยาวนานกว่าและประสิทธิภาพในการกำจัดสังกะสีในน้ำเสียจริงน้อยกว่าน้ำเสียสังเคราะห์เล็กน้อย สาเหตุเนื่องมาจากองค์ประกอบที่แตกต่างกันระหว่างน้ำเสียจริงกับน้ำเสียสังเคราะห์ ดังแสดงตารางที่ 4.4



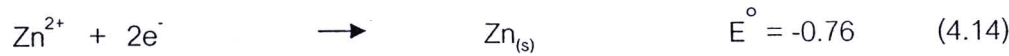
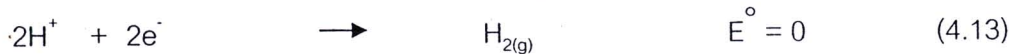
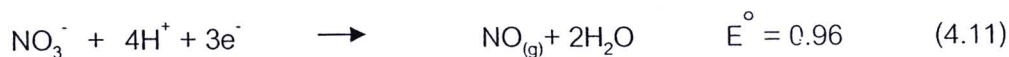
รูปที่ 4.15 ค่าประสิทธิภาพเชิงกระแสเทียบกับเวลาเมื่อใช้การปรับเปลี่ยน

ค่าความหนาแน่นกระแสไฟฟ้าตามตารางที่ 4.3

ตารางที่ 4.4 สมบัติของน้ำเสียจริงและน้ำเสียสังเคราะห์ที่ใช้ในการทดลอง

| พารามิเตอร์ที่ตรวจวัด | น้ำเสียจริง | น้ำเสียสังเคราะห์ |
|-----------------------|-------------|-------------------|
| pH                    | 1.7         | 1.6               |
| Zinc, Total (mg/l)    | 155         | 155               |
| Nitrate (mg/l)        | 27          | -                 |
| Sulfate (mg/l)        | 11,800      | -                 |

จากตารางที่ 4.4 องค์ประกอบที่แตกต่างระหว่างน้ำเสียจริงกับน้ำเสียสังเคราะห์คือ ไอโอนในเดรท ไอโอนชัลเฟต ซึ่งสามารถรับอิเล็กตรอน ได้ดีกว่าสังกะสี ดังแสดงในสมการที่ 4.11 ถึง 4.14



โดยไอโอนในเดรทมีความสามารถในการรับอิเล็กตรอนได้ดีกว่าไอโอนชัลเฟต แต่มีอยู่ในปริมาณน้อย ในขณะที่ไอโอนชัลเฟตมีอยู่ในปริมาณที่มากกว่าสังกะสีถึง 40 เท่า เมื่อเทียบเป็นอัตราส่วนต่อโมล ดังนั้นจึงเป็นสาเหตุหลักที่มีผลทำให้ประสิทธิภาพการลดลงของสังกะสีเกิดขึ้นได้ด้วย ซึ่งงานวิจัยนี้ไม่ได้ศึกษาการกำจัดในเดรทและชัลเฟตก่อน ดังนั้นเพื่อประสิทธิภาพในการกำจัดสังกะสีในน้ำเสียจริง ควรมีวิธีการกำจัดในเดรทและชัลเฟตก่อนการกำจัดสังกะสีด้วยวิธีการตอกตะกอนด้วยวิธีทางไฟฟ้าเคมี

#### 4.5 การวิเคราะห์ค่าใช้จ่ายในการบำบัด

แบ่งค่าใช้จ่ายออกเป็น 2 ส่วน โดยไม่รวมค่าเครื่องควบคุมกระแสไฟฟ้า (Galvanometer) และสายไฟต่างๆ

##### 4.5.1 ค่าใช้จ่ายเบื้องต้นสำหรับอุปกรณ์และสารที่ใช้ข้าๆ ได้

###### Lab Scale (งานวิจัยนี้)

- ค่าถังปฏิกิริยา (ทำจากแผ่นอะคริลิก) ความจุ 1,274 มิลลิลิตร เท่ากับ 6,500 บาท (สำหรับผู้ที่น้ำเสียจริงเท่านั้น)
  - ค่าข้าวไฟฟ้า ซึ่งข้าวแคโทดที่ใช้เป็นเหล็กกล้าไวร์สนิม ขนาด  $2 \times 10$  ตารางเซนติเมตร จำนวน 10 แผ่น ราคา 20 บาท และข้าวแอกโนดที่ใช้เป็นแกรไฟต์ ขนาด  $10 \times 10$  ตารางเซนติเมตร จำนวน 2 แผ่น ราคา 900 บาท

- ค่าสารละลายน้ำอิเล็กโทรไลต์ผงแอกโนด (ในงานวิจัยนี้ใช้ NaCl เข้มข้น 2 มอลต่อลิตร ปริมาตร 900 มิลลิลิตร) ราคา 21 บาท

$$\text{รวมเป็นค่าใช้จ่าย (บาท/ลบ.ม.)} = \frac{6,500 + 20 + 900 + 21}{1.274 \text{ ลิตร}}$$

$$= 5,840 \text{ บาท/ลิตร}$$

$$= 5,840,000 \text{ บาท/ลบ.ม. (Lab scale)}$$

#### Plant Scale

- ค่าสร้างบ่อตักตะกอน (ทำจากคอนกรีต) อัตราหน้าเสียเหล็กก่อนเข้าบ่อตักตะกอนเท่ากับ 4,000 ลบ.ม./วัน (กรมโรงงานอุตสาหกรรม, 2551) ระยะเวลา กักเก็บน้ำสำหรับการตักตะกอนทางไฟฟ้าเคมีในงานวิจัยนี้ 50-80 นาที (ในการคำนวณจะใช้ 60 นาทีหรือ 1 ชั่วโมง)

$$\begin{aligned} \text{คำนวณจาก ขนาดบ่อตักตะกอน} &= 1 \text{ hr} \times \frac{1 \text{ d}}{24 \text{ hr}} \times \frac{4,000 \text{ m}^3}{\text{d}} \\ &= 170 \text{ m}^3 \end{aligned}$$

ความลึกน้ำบ่อตักตะกอนต้องไม่น้อยกว่า 0.9 เมตร (มั่นสิน ตัณฑุลเวศน์, 2545)

ดังนั้นออกแบบบ่อตักตะกอนสูง 2 เมตร พื้นที่บ่อตักตะกอน

$$= 170 \text{ m}^3 / 2 \text{ m} = 85 \text{ m}^2$$

ใช้ปูนฉาบ 5 ตร.ม./25 กก. ราคาปูน 1 ถุง (25 กก.) = 106 บาท (ปูนซีเมนต์ผสม)

$$\text{ตั้งน้ำที่ปูน} = 85 \text{ m}^2 / 5 \text{ m}^2 = 17 \text{ ถุง}$$

$$\text{ราคาก่อสร้าง} = 17 \text{ ถุง} \times 106 \text{ บาท} \times 2 \text{ เมตร} = 3,604 \text{ บาท/ลบ.ม.}$$

ราคาก่อสร้างนี้คิดเฉพาะค่าปูนซีเมนต์ผสมเพื่อเบรียบเทียบกับแผ่นอะครีลิก ไม่ได้รวมค่าทราย ปูนขาว น้ำ ค่าวัสดุป้องกันกรด ฯลฯ

- ค่าข้ารไฟฟ้า ชั่วแคทดที่ใช้เป็นแหล่งกำลังไฟรันนิม ขนาด  $2 \times 10$  ตารางเซนติเมตร จำนวน 10 แผ่น ราคา 20 บาท และชั่วแอโนดที่ใช้เป็นแกรไฟต์ ขนาด  $10 \times 10$  ตารางเซนติเมตร จำนวน 2 แผ่น ราคา 900 บาท
- ค่าสารละลายน้ำ NaCl เข้มข้น 2 มอลต่อลิตร ปริมาตร 900 มลลิลิตร) ราคา 21 บาท

รวมค่าข้ารไฟฟ้าและค่าสารละลายน้ำ NaCl เข้มข้น 2 มอลต่อลิตร

$$= \frac{20 + 900 + 21}{1.274} \text{ ลิตร}$$

$$= 740 \text{ บาท/ลิตร}$$

$$= 740,000 \text{ บาท/ลบ.ม.}$$

รวมเป็นค่าใช้จ่าย (บาท/ลบ.ม.) =  $740,000 + 3,604$

$$= 743,604 \text{ บาท/ลบ.ม. (Plant scale)}$$

#### 4.5.2 ค่าใช้จ่ายที่แปรผันตามปริมาตรของน้ำเสียที่ต้องการบำบัด

ให้วิธีปรับเปลี่ยนค่าความหนาแน่นกระแสงที่ควบคุมตามเวลา ดังแสดงในตารางที่ 4.3 พบว่ากำลังไฟฟ้าที่ถูกใช้ไปในแต่ละช่วงเวลาและค่าใช้จ่าย แสดงไว้ในตารางที่ 4.5

ตารางที่ 4.5 ค่าใช้จ่ายที่เปลี่ยนตามปริมาณของน้ำเสียที่ต้องการบำบัดโดยใช้วิธีปรับเปลี่ยนค่าความหนาแน่นกระแสงที่ควบคุมตามเวลา

| เวลา<br>(min.) | ความหนาแน่นกระแสงไฟฟ้า<br>(mA/m <sup>2</sup> ) | ค่ากระแสงที่ควบคุม<br>(mA) | กำลังไฟฟ้า<br>(kw.hr/m <sup>3</sup> ) | ค่าใช้จ่าย<br>(Baht/m <sup>3</sup> ) |
|----------------|--|----------------------------|---------------------------------------|--------------------------------------|
| 0-30           | 125  | 5,000                      | 1.125                                 | 2.81                                 |
| 30-40          | 75   | 3,000                      | 0.058                                 | 0.15                                 |
| 40-45          | 50   | 2,000                      | 0.007                                 | 0.02                                 |
| 45-50          | 25   | 1,000                      | 0.003                                 | 0.01                                 |
| 50-55          | 17   | 680                        | 0.006                                 | 0.01                                 |
|                |  |                            | รวม                                   | 3.00                                 |

ในงานวิจัยนี้ใช้ค่าไฟฟ้าในการตัดตอนสังกะสีในน้ำเสียโรงงานผลิตเส้นใย 3 บาทต่อลูกบาศก์เมตร (lab scale) โดยไม่ได้รวมกับค่าวัสดุอุปกรณ์และสารเคมีในหัวข้อ 4.5.1 มีค่าใช้จ่ายที่ถูกมากเมื่อเปรียบเทียบกับการตัดตอนสังกะสีในน้ำเสียโรงงานผลิตเส้นใยโดยการใช้สารเคมี 2 ชนิด ได้แก่ โซเดียมไฮดรอกไซด์ และโซเดียมซัลไฟด์ ค่าสารเคมีในการตัดตอนด้วยโซเดียมไฮดรอกไซด์ มีค่า 110.40 บาทต่อลูกบาศก์เมตร และโซเดียมซัลไฟด์มีค่า 141.16 บาทต่อลูกบาศก์เมตร (สวัสดิ์ เชาวน์รูปดี, 2552) และนอกจากจะสามารถประยัดค่าใช้จ่ายในการกำจัดสังกะสีแล้ว ร้อยละการกำจัดยังสูงถึง 98% และสามารถกำจัดสังกะสีให้ผ่านเกณฑ์มาตรฐานน้ำทึบได้ในเวลา 50 นาที ดังแสดงในตารางที่ 4.6

ตารางที่ 4.6 สรุปเปรียบเทียบงานวิจัยการใช้ไฟฟ้าเคมีในการตกรตะกอน

| ผู้วิจัย                     | งานวิจัย   | ขั้นไฟฟ้า   | ค่ากราฟ   | ปสก.การกำจัด  |
|------------------------------|--|---|---|---|
| Kobyah<br>และคณะ<br>(2009)   | กำจัดซิงค์ฟอสเฟต<br>-pH 3.8, -[Zn] 40 mg/l<br>-ไนเตรท 85 mg/l<br>-ฟอสเฟต 120 mg/l<br>-ชัลเฟต 60 mg/l | -เหล็ก<br>-AI   | 10-100(A/m <sup>2</sup> )<br>คงที่กราฟ<br>คงที่กราฟ       | -97.80% @ 15 min<br>(Fe)<br>น้ำเสียจริง<br>-96.70% @ 25 min (Al)<br>น้ำเสียจริง               |
| Mohammad<br>และคณะ<br>(2008) | กำจัดฟลูออิร์ด<br>-pH 4.0<br>-[F] 25 mg/l  | -AI   | 12.5-50<br>(A/m <sup>2</sup> )<br>คงที่กราฟ               | - 95.70% @ 200<br>ml/min  |
| สหรัฐ<br>เขารุปดี<br>(2552)  | กำจัดสังกะสี<br>-pH 2.0, [Zn] 155 mg/l<br>-ไนเตรท 27 mg/L<br>-ชัลเฟต 11,800 mg/l                     | -แกรไฟต์  | 3-133(A/m <sup>2</sup> )<br>(50-2,000<br>mA)<br>คงที่กราฟ | -100% @ 6 hr.<br>น้ำเสียสังเคราะห์<br>-24% @ 6 hr.<br>น้ำเสียจริง                             |
| งานวิจัยนี้                  | กำจัดสังกะสี<br>- pH 1.7, [Zn] 155 mg/l<br>-ไนเตรท 27 mg/L<br>-ชัลเฟต 11,800 mg/l                    | -เหล็ก<br>-AI<br>-เหล็กกล้า<br>ไรสันิม<br>(St.)<br>-แกรไฟต์ | 17-125(A/m <sup>2</sup> )<br>ปรับเปลี่ยน<br>กราฟ          | -99% @ 11 min.<br>น้ำเสียสังเคราะห์<br>(ข้าว St.)<br>-98% @ 50 min.<br>น้ำเสียจริง (ข้าว St.) |